

Entrée et sortie: Système Offset Reflective ORS18a pour la teinte CIELAB relative $h_{ab,a,rel} = h_{ab}/360 = 68/360 = 0.19$

$H^*_- = R50Y_-$

Données de couleurs périphériques (d)

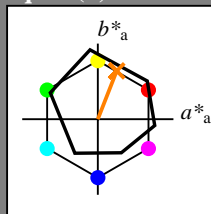
ou élémentaires (e):

HIC^*_-

code de teinte pour les couleurs de cette page:

$H^*_- = R50Y_-$

triangle de luminosité T^*



ORS18a; données CIELAB (a) adaptées

nom	$L^*=L^*_a a^*_a$	b^*_a	$C^*_{ab,a}$	$h^*_{ab,a}$	
R _{-,Ma}	47.9	65.3	50.5	82.6	37
Y _{-,Ma}	90.3	-10.2	91.7	92.3	96
G _{-,Ma}	50.9	-62.8	34.9	71.9	150
C _{-,Ma}	58.6	-30.3	-45.0	54.2	236
B _{-,Ma}	25.7	31.0	-44.4	54.2	305
M _{-,Ma}	48.1	75.2	-8.3	75.7	353
N _{-,Ma}	18.0	0.0	0.0	0.0	0
W _{-,Ma}	95.4	0.0	0.0	0.0	0
R _{-,CIE}	39.9	58.7	27.9	65.0	25
Y _{-,CIE}	81.2	-2.8	71.5	71.6	92
G _{-,CIE}	52.2	-42.4	13.6	44.5	162
B _{-,CIE}	30.5	1.4	-46.4	46.4	271

Les données de couleur maximale (Ma):

$LabCh^*_{-,Ma}$: 68 25 63 68 68

$HIC^*_{-,Ma}$: R50Y_100_100_

$rgbic^*_{-,Ma}$:

1.0 0.5 0.0 1.0 1.0

triangle de luminosité T^*

% Gamme

$u^*_{rel} = 92$

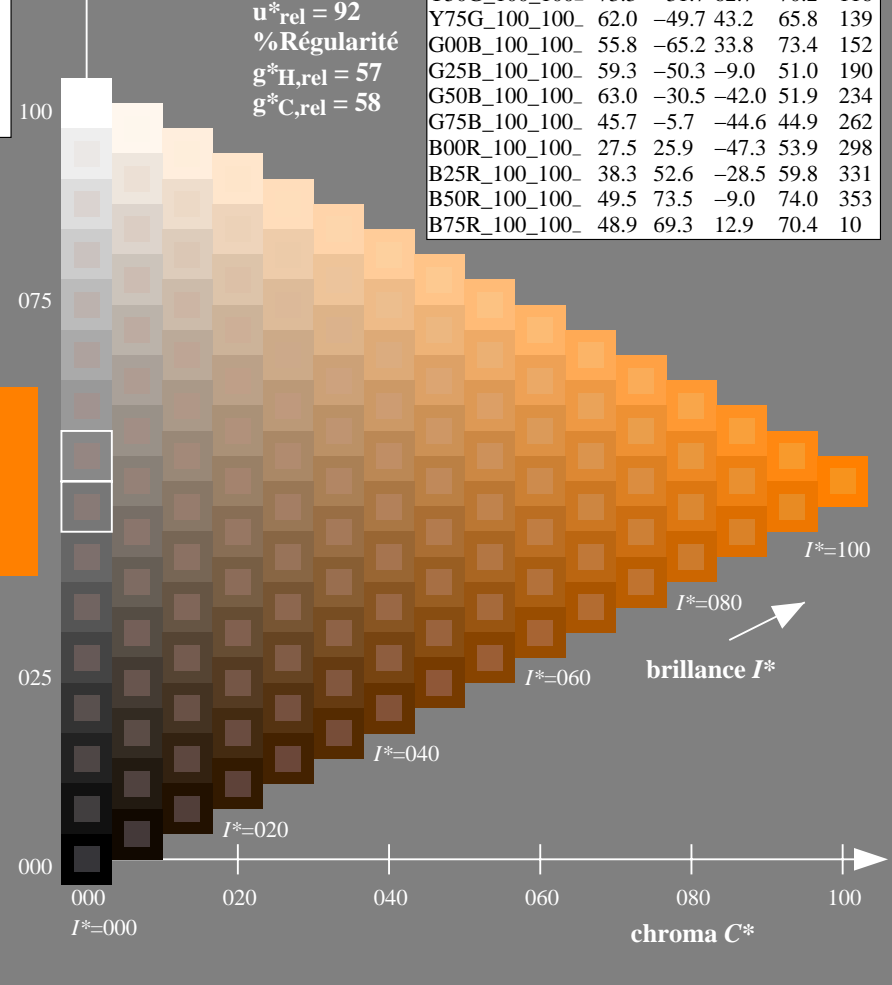
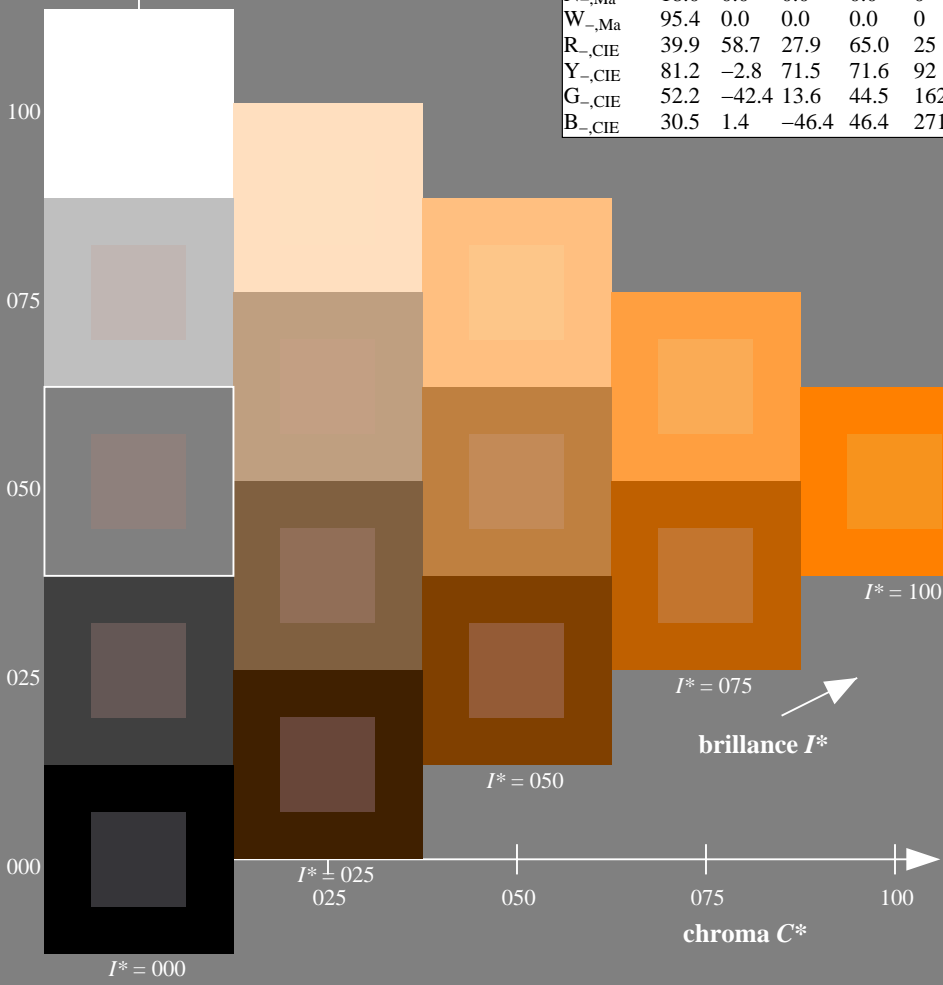
% Régularité

$g^*_{H,rel} = 57$

$g^*_{C,rel} = 58$

ORS20a; données CIELAB (a) adaptées

H^*_-	$L^*=L^*_a a^*_a$	b^*_a	$C^*_{ab,a}$	$h^*_{ab,a}$	
R00Y_100_100_	48.4	66.1	40.2	77.3	31
R25Y_100_100_	56.8	48.0	50.5	69.6	46
R50Y_100_100_	68.6	25.0	63.9	68.6	68
R75Y_100_100_	80.6	4.8	77.2	77.3	86
Y00G_100_100_	90.2	-9.6	88.2	88.7	96
Y25G_100_100_	83.2	-18.4	79.9	81.9	102
Y50G_100_100_	73.3	-31.7	62.7	70.2	116
Y75G_100_100_	62.0	-49.7	43.2	65.8	139
G00B_100_100_	55.8	-65.2	33.8	73.4	152
G25B_100_100_	59.3	-50.3	-9.0	51.0	190
G50B_100_100_	63.0	-30.5	-42.0	51.9	234
G75B_100_100_	45.7	-5.7	-44.6	44.9	262
B00R_100_100_	27.5	25.9	-47.3	53.9	298
B25R_100_100_	38.3	52.6	-28.5	59.8	331
B50R_100_100_	49.5	73.5	-9.0	74.0	353
B75R_100_100_	48.9	69.3	12.9	70.4	10



voir fichiers similaires: <http://130.149.60.45/~farbmetrik/QF17/QF17L0NP.PDF> / .PS
 informations techniques: <http://www.ps.bam.de> ou <http://130.149.60.45/~farbmetrik>

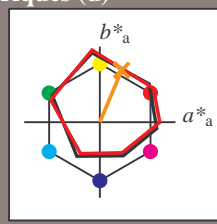
TUB enregistrement: 20130201-QF17/QF17L0NP.PDF /.PS
 application pour la mesure des sorties sur offset
 TUB matériel: code=rh4ta

Entrée et sortie: Système Offset Reflective ORS18a pour la teinte CIELAB relative $h_{ab,a,rel} = h_{ab}/360 = 67/360 = 0.18$

$H^*_d = R50Y_d$

Données de couleurs périphériques (d)
ou élémentaires (e):

HIC^*_d
code de teinte pour les couleurs de cette page:
 $H^*_d = R50Y_d$
triangle de luminosité T^*



ORS20a; données CIELAB (a) adaptées

nom	$L^*=L^*_a$	a^*_a	b^*_a	$C^*_{ab,a}$	$h^*_{ab,a}$
R _{d,Ma}	45.4	70.9	44.8	83.9	32
Y _{d,Ma}	87.8	-10.2	95.4	96.0	96
G _{d,Ma}	50.0	-65.0	29.6	71.4	155
C _{d,Ma}	56.8	-25.5	-41.5	48.7	238
B _{d,Ma}	25.0	29.5	-40.4	50.0	306
M _{d,Ma}	46.1	79.3	-0.2	79.3	359
N _{d,Ma}	24.3	0.0	0.0	0.0	0
W _{d,Ma}	95.6	0.0	0.0	0.0	0
R _{d,CIE}	39.9	58.7	27.9	65.0	25
Y _{d,CIE}	81.2	-2.8	71.5	71.6	92
G _{d,CIE}	52.2	-42.4	13.6	44.5	162
B _{d,CIE}	30.5	1.4	-46.4	46.4	271

Les données de couleur maximale (Ma):

LabCh^{*}_{d,Ma}: 64 28 68 74 67

HIC^*_d, Ma : R50Y_100_100d

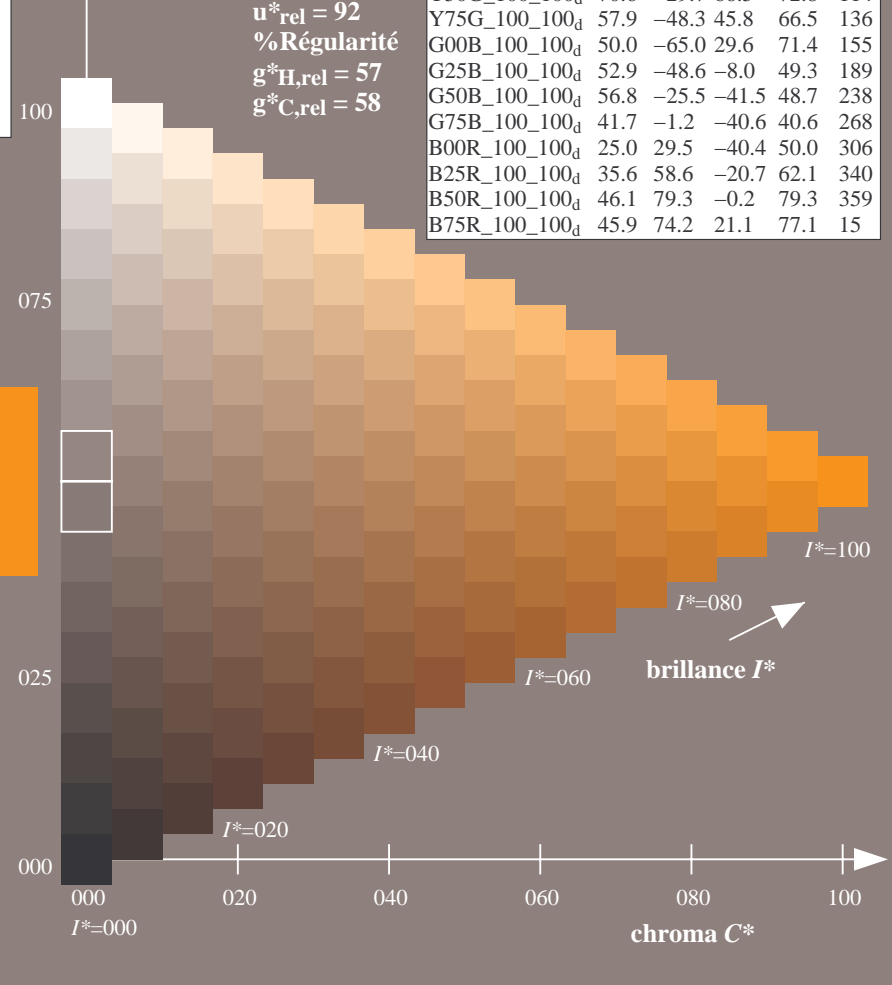
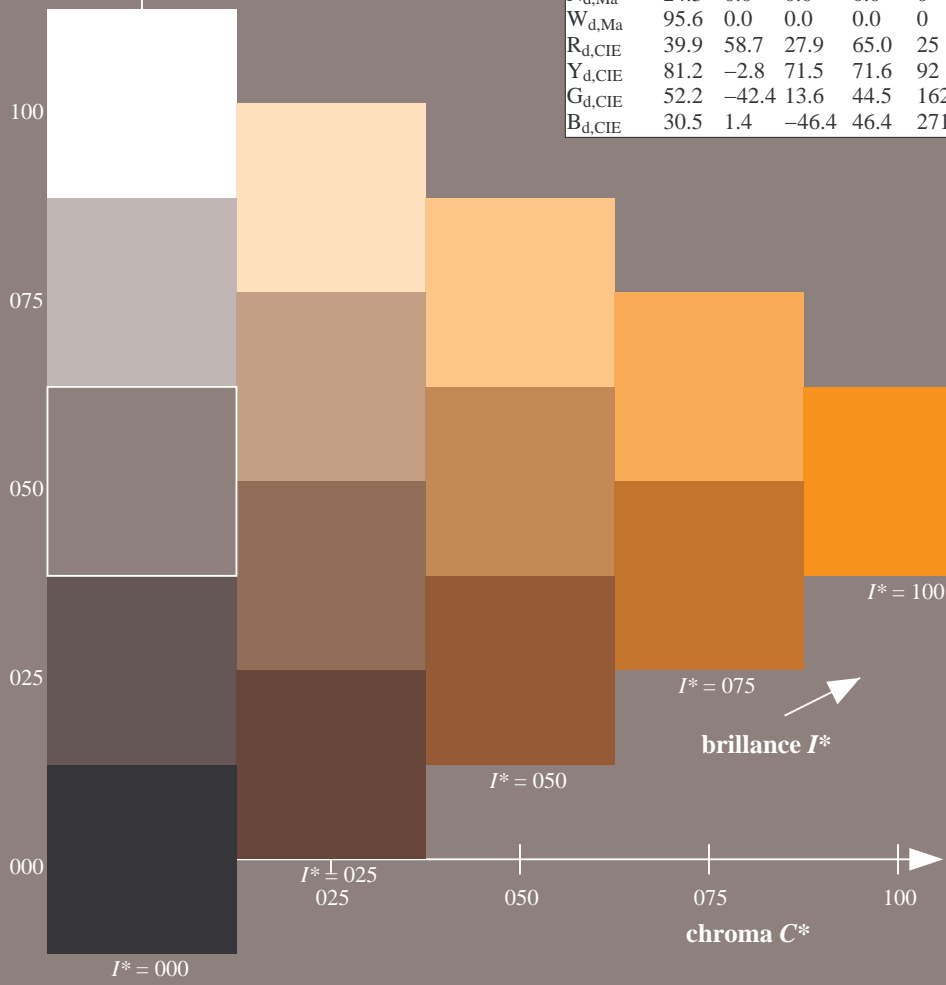
rgbic^{*}_{d,Ma}:
1.0 0.5 0.0 1.0 1.0

triangle de luminosité T^*

% Gamme
 $u^*_{rel} = 92$
% Régularité
 $g^*_{H,rel} = 57$
 $g^*_{C,rel} = 58$

ORS20a; données CIELAB (a) adaptées

H^*_d	$L^*=L^*_a$	a^*_a	b^*_a	$C^*_{ab,a}$	$h^*_{ab,a}$
R00Y_100_100d	45.4	70.9	44.8	83.9	32
R25Y_100_100d	53.0	53.4	54.8	76.5	45
R50Y_100_100d	64.9	28.9	68.6	74.5	67
R75Y_100_100d	78.6	4.3	84.7	84.8	87
Y00G_100_100d	87.8	-10.2	95.4	96.0	96
Y25G_100_100d	81.2	-17.0	84.3	86.0	101
Y50G_100_100d	70.6	-29.7	66.5	72.8	114
Y75G_100_100d	57.9	-48.3	45.8	66.5	136
G00B_100_100d	50.0	-65.0	29.6	71.4	155
G25B_100_100d	52.9	-48.6	-8.0	49.3	189
G50B_100_100d	56.8	-25.5	-41.5	48.7	238
G75B_100_100d	41.7	-1.2	-40.6	40.6	268
B00R_100_100d	25.0	29.5	-40.4	50.0	306
B25R_100_100d	35.6	58.6	-20.7	62.1	340
B50R_100_100d	46.1	79.3	-0.2	79.3	359
B75R_100_100d	45.9	74.2	21.1	77.1	15



voir fichiers similaires: <http://130.149.60.45/~farbmetrik/QF17/QF17.HTM>
informations techniques: <http://www.ps.bam.de> ou <http://130.149.60.45/~farbmetrik>

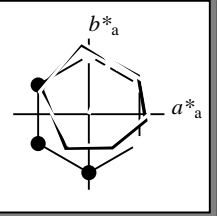
TUB enregistrement: 20130201-QF17/QF17L0NP.PDF /.PS TUB matériel: code=rh4ta
application pour la mesure des sorties sur offset, séparation cmy0 (CMY0)

Entrée et sortie: Système Offset Reflective ORS18a pour la teinte CIELAB relative $h_{ab,a,rel} = h_{ab}/360 = 67/360 = 0.18$

$H^*_d = R50Y_d$

Données de couleurs périphériques (d)
ou élémentaires (e):
 HIC^*_d

code de teinte pour les couleurs de cette page:
 $H^*_d = R50Y_d$
triangle de luminosité T^*



ORS20a; données CIELAB (a) adaptées

nom	$L^*=L^*_a$	a^*_a	b^*_a	$C^*_{ab,a}$	$h^*_{ab,a}$
$R_{d, Ma}$	45.4	70.9	44.8	83.9	32
$Y_{d, Ma}$	87.8	-10.2	95.4	96.0	96
$G_{d, Ma}$	50.0	-65.0	29.6	71.4	155
$C_{d, Ma}$	56.8	-25.5	-41.5	48.7	238
$B_{d, Ma}$	25.0	29.5	-40.4	50.0	306
$M_{d, Ma}$	46.1	79.3	-0.2	79.3	359
$N_{d, Ma}$	24.3	0.0	0.0	0.0	0
$W_{d, Ma}$	95.6	0.0	0.0	0.0	0
$R_{d, CIE}$	39.9	58.7	27.9	65.0	25
$Y_{d, CIE}$	81.2	-2.8	71.5	71.6	92
$G_{d, CIE}$	52.2	-42.4	13.6	44.5	162
$B_{d, CIE}$	30.5	1.4	-46.4	46.4	271

Les données de couleur maximale (Ma):

$LabCh^*_{d, Ma}$: 64 28 68 74 67

$HIC^*_{d, Ma}$: R50Y_100_100d

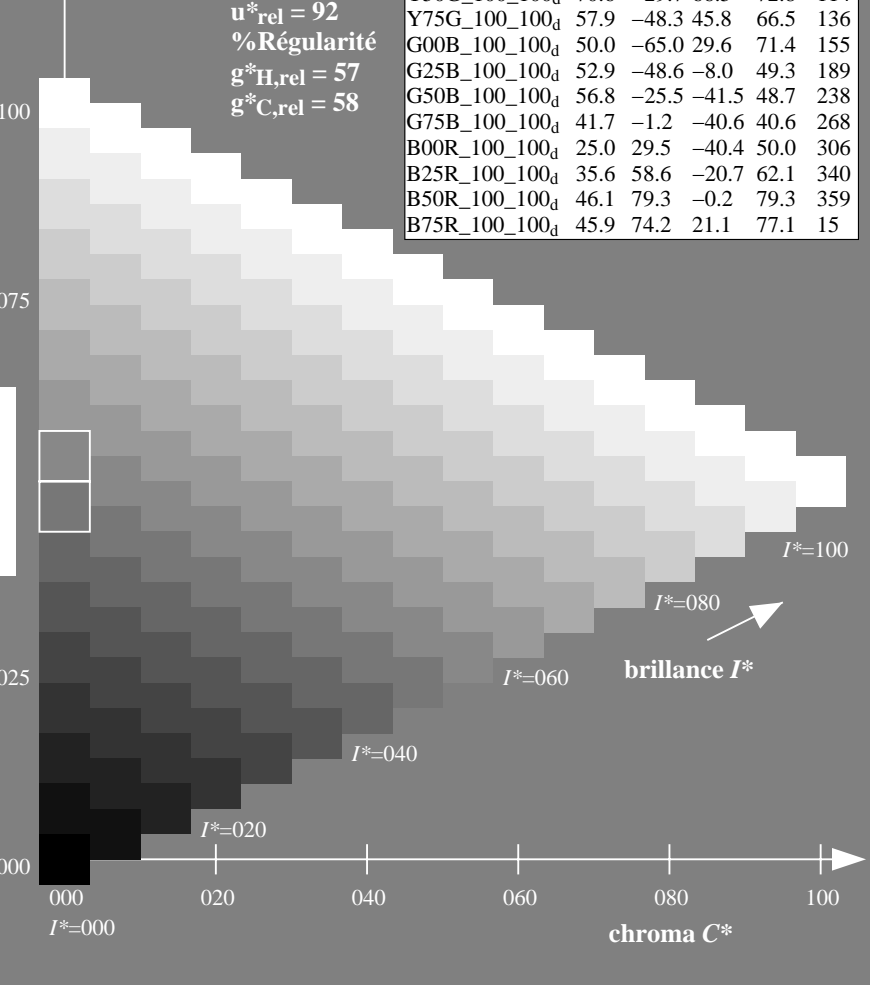
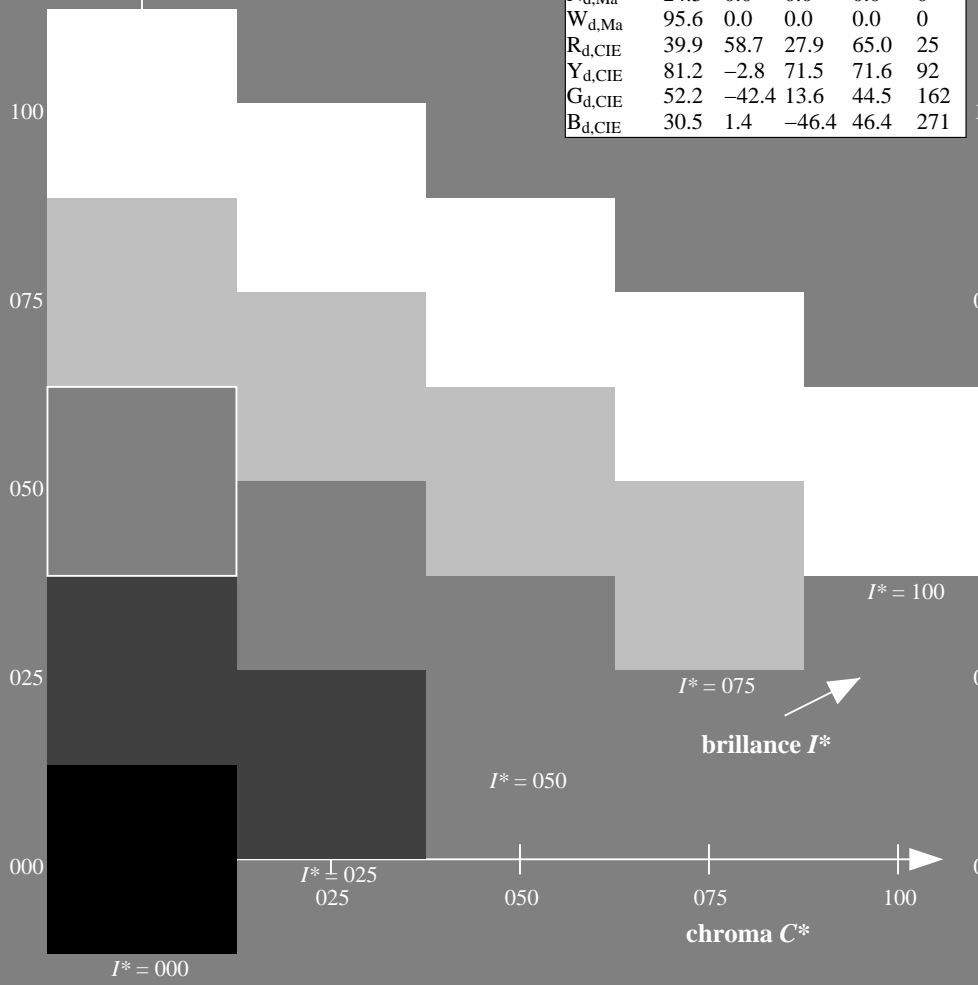
$rgbic^*_{d, Ma}$:
1.0 0.5 0.0 1.0 1.0

triangle de luminosité T^*

% Gamme
 $u^*_{rel} = 92$
% Régularité
 $g^*_{H, rel} = 57$
 $g^*_{C, rel} = 58$

ORS20a; données CIELAB (a) adaptées

H^*_d	$L^*=L^*_a$	a^*_a	b^*_a	$C^*_{ab,a}$	$h^*_{ab,a}$
$R00Y_{100_100d}$	45.4	70.9	44.8	83.9	32
$R25Y_{100_100d}$	53.0	53.4	54.8	76.5	45
$R50Y_{100_100d}$	64.9	28.9	68.6	74.5	67
$R75Y_{100_100d}$	78.6	4.3	84.7	84.8	87
$Y00G_{100_100d}$	87.8	-10.2	95.4	96.0	96
$Y25G_{100_100d}$	81.2	-17.0	84.3	86.0	101
$Y50G_{100_100d}$	70.6	-29.7	66.5	72.8	114
$Y75G_{100_100d}$	57.9	-48.3	45.8	66.5	136
$G00B_{100_100d}$	50.0	-65.0	29.6	71.4	155
$G25B_{100_100d}$	52.9	-48.6	-8.0	49.3	189
$G50B_{100_100d}$	56.8	-25.5	-41.5	48.7	238
$G75B_{100_100d}$	41.7	-1.2	-40.6	40.6	268
$B00R_{100_100d}$	25.0	29.5	-40.4	50.0	306
$B25R_{100_100d}$	35.6	58.6	-20.7	62.1	340
$B50R_{100_100d}$	46.1	79.3	-0.2	79.3	359
$B75R_{100_100d}$	45.9	74.2	21.1	77.1	15



voir fichiers similaires: <http://130.149.60.45/~farbmetrik/QF17/QF17.HTM>
informations techniques: <http://www.ps.bam.de> ou <http://130.149.60.45/~farbmetrik>

TUB enregistrement: 20130201-QF17/QF17L0NP.PDF /.PS TUB matériel: code=rh4ta
application pour la mesure des sorties sur offset, séparation cmy0 (CMY0)



Entrée et sortie: Système Offset Reflective ORS18a pour la teinte CIELAB relative $h_{ab,a,rel} = h_{ab}/360 = 67/360 = 0.18$

$H^*_d = R50Y_d$

Données de couleurs périphériques (d)

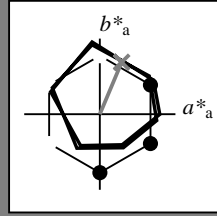
ou élémentaires (e):

HIC^*_d

code de teinte pour les couleurs de cette page:

$H^*_d = R50Y_d$

triangle de luminosité T^*



ORS20a; données CIELAB (a) adaptées

nom	$L^*=L^*_a$	a^*_a	b^*_a	$C^*_{ab,a}$	$h^*_{ab,a}$
R _{d, Ma}	45.4	70.9	44.8	83.9	32
Y _{d, Ma}	87.8	-10.2	95.4	96.0	96
G _{d, Ma}	50.0	-65.0	29.6	71.4	155
C _{d, Ma}	56.8	-25.5	-41.5	48.7	238
B _{d, Ma}	25.0	29.5	-40.4	50.0	306
M _{d, Ma}	46.1	79.3	-0.2	79.3	359
N _{d, Ma}	24.3	0.0	0.0	0.0	0
W _{d, Ma}	95.6	0.0	0.0	0.0	0
R _{d, CIE}	39.9	58.7	27.9	65.0	25
Y _{d, CIE}	81.2	-2.8	71.5	71.6	92
G _{d, CIE}	52.2	-42.4	13.6	44.5	162
B _{d, CIE}	30.5	1.4	-46.4	46.4	271

Les données de couleur maximale (Ma):

LabCh^{*}_{d, Ma}: 64 28 68 74 67

HIC^{*}_{d, Ma}: R50Y_100_100d

rgbic^{*}_{d, Ma}:

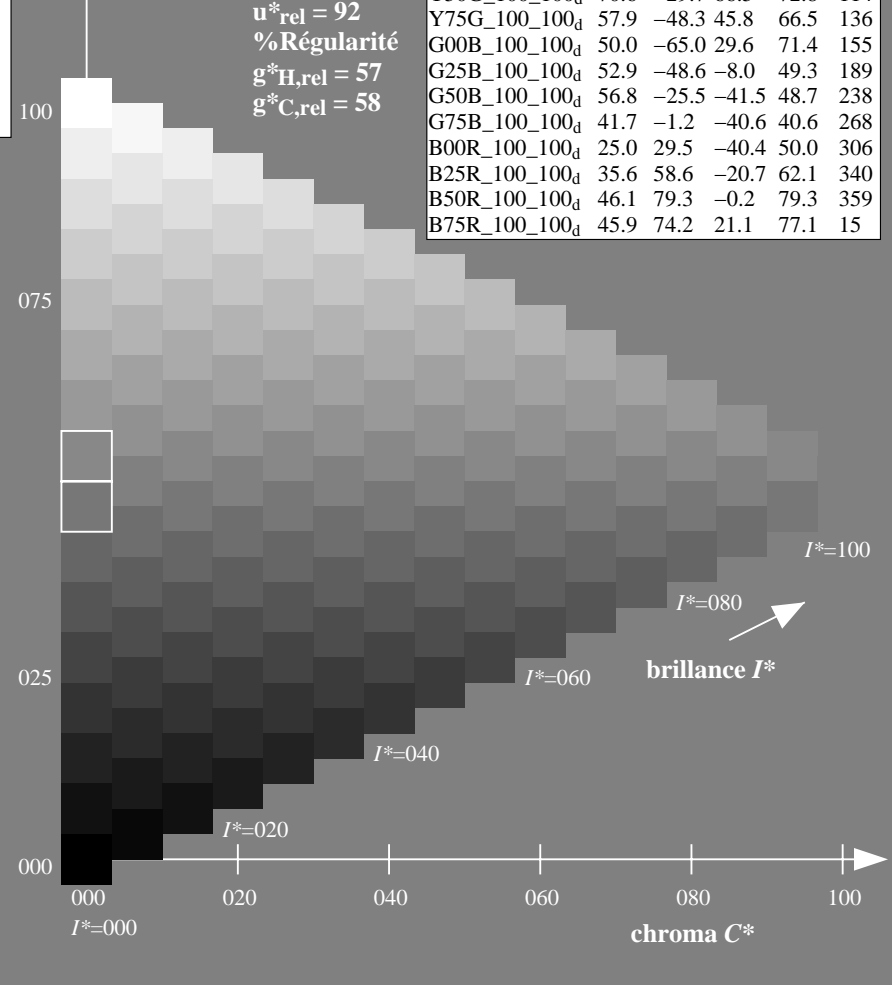
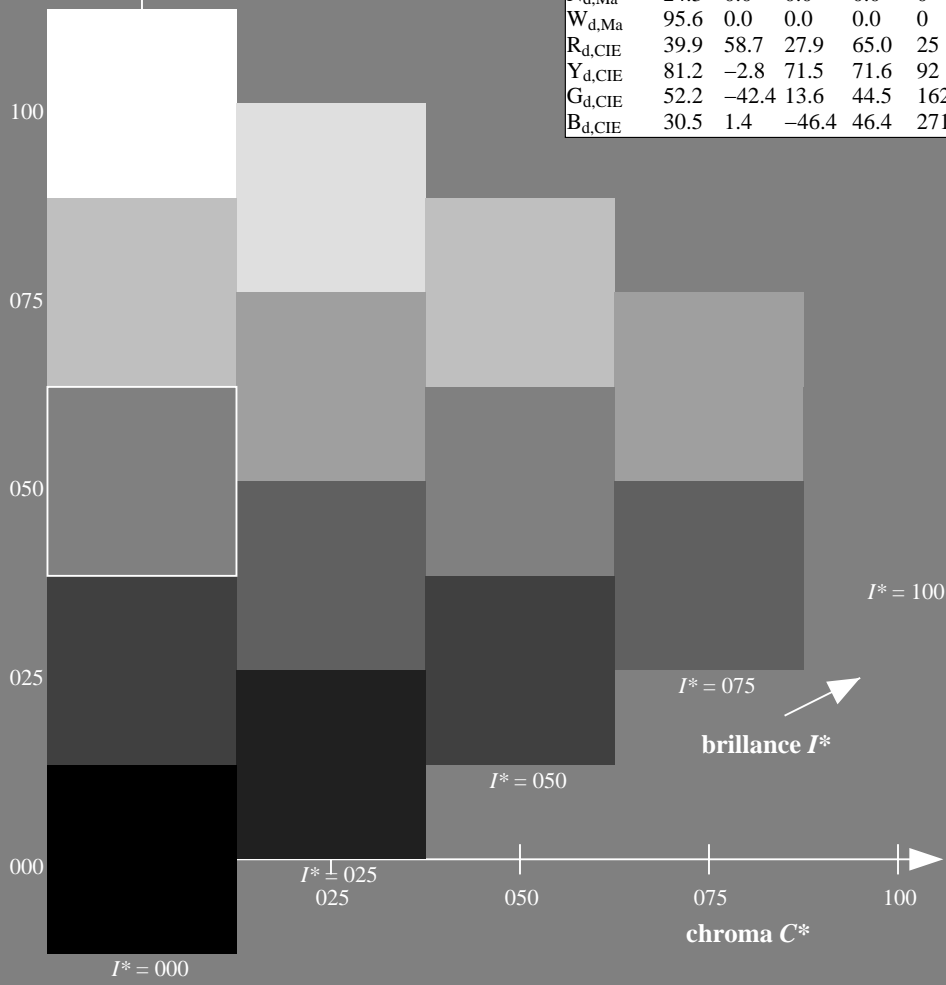
1.0 0.5 0.0 1.0 1.0

triangle de luminosité T^*

% Gamme
 $u^*_{rel} = 92$
% Régularité
 $g^*_{H, rel} = 57$
 $g^*_{C, rel} = 58$

ORS20a; données CIELAB (a) adaptées

H^*_d	$L^*=L^*_a$	a^*_a	b^*_a	$C^*_{ab,a}$	$h^*_{ab,a}$
R00Y_100_100d	45.4	70.9	44.8	83.9	32
R25Y_100_100d	53.0	53.4	54.8	76.5	45
R50Y_100_100d	64.9	28.9	68.6	74.5	67
R75Y_100_100d	78.6	4.3	84.7	84.8	87
Y00G_100_100d	87.8	-10.2	95.4	96.0	96
Y25G_100_100d	81.2	-17.0	84.3	86.0	101
Y50G_100_100d	70.6	-29.7	66.5	72.8	114
Y75G_100_100d	57.9	-48.3	45.8	66.5	136
G00B_100_100d	50.0	-65.0	29.6	71.4	155
G25B_100_100d	52.9	-48.6	-8.0	49.3	189
G50B_100_100d	56.8	-25.5	-41.5	48.7	238
G75B_100_100d	41.7	-1.2	-40.6	40.6	268
B00R_100_100d	25.0	29.5	-40.4	50.0	306
B25R_100_100d	35.6	58.6	-20.7	62.1	340
B50R_100_100d	46.1	79.3	-0.2	79.3	359
B75R_100_100d	45.9	74.2	21.1	77.1	15



voir fichiers similaires: <http://130.149.60.45/~farbmetrik/QF17/QF17.HTM>
informations techniques: <http://www.ps.bam.de> ou <http://130.149.60.45/~farbmetrik>

TUB enregistrement: 20130201-QF17/QF17L0NP.PDF /.PS TUB matériel: code=rh4ta
application pour la mesure des sorties sur offset, séparation cmy0 (CMY0)

Entrée et sortie: Système Offset Reflective ORS18a pour la teinte CIELAB relative $h_{ab,a,rel} = h_{ab}/360 = 67/360 = 0.18$

$H^*_d = R50Y_d$

Données de couleurs périphériques (d)

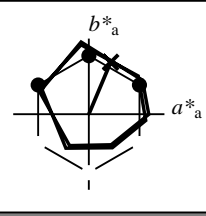
ou élémentaires (e):

HIC^*_d

code de teinte pour les couleurs de cette page:

$H^*_d = R50Y_d$

triangle de luminosité T^*



ORS20a; données CIELAB (a) adaptées

nom	$L^*=L^*_a a^*_a$	b^*_a	$C^*_{ab,a}$	$h^*_{ab,a}$
R _{d,Ma}	45.4	70.9	44.8	83.9
Y _{d,Ma}	87.8	-10.2	95.4	96.0
G _{d,Ma}	50.0	-65.0	29.6	71.4
C _{d,Ma}	56.8	-25.5	-41.5	48.7
B _{d,Ma}	25.0	29.5	-40.4	50.0
M _{d,Ma}	46.1	79.3	-0.2	79.3
N _{d,Ma}	24.3	0.0	0.0	0.0
W _{d,Ma}	95.6	0.0	0.0	0.0
R _{d,CIE}	39.9	58.7	27.9	65.0
Y _{d,CIE}	81.2	-2.8	71.5	71.6
G _{d,CIE}	52.2	-42.4	13.6	44.5
B _{d,CIE}	30.5	1.4	-46.4	46.4

Les données de couleur maximale (Ma):

LabCh^{*}_{d,Ma}: 64 28 68 74 67

HIC^*_d, Ma : R50Y_100_100d

rgbic^{*}_{d,Ma}:

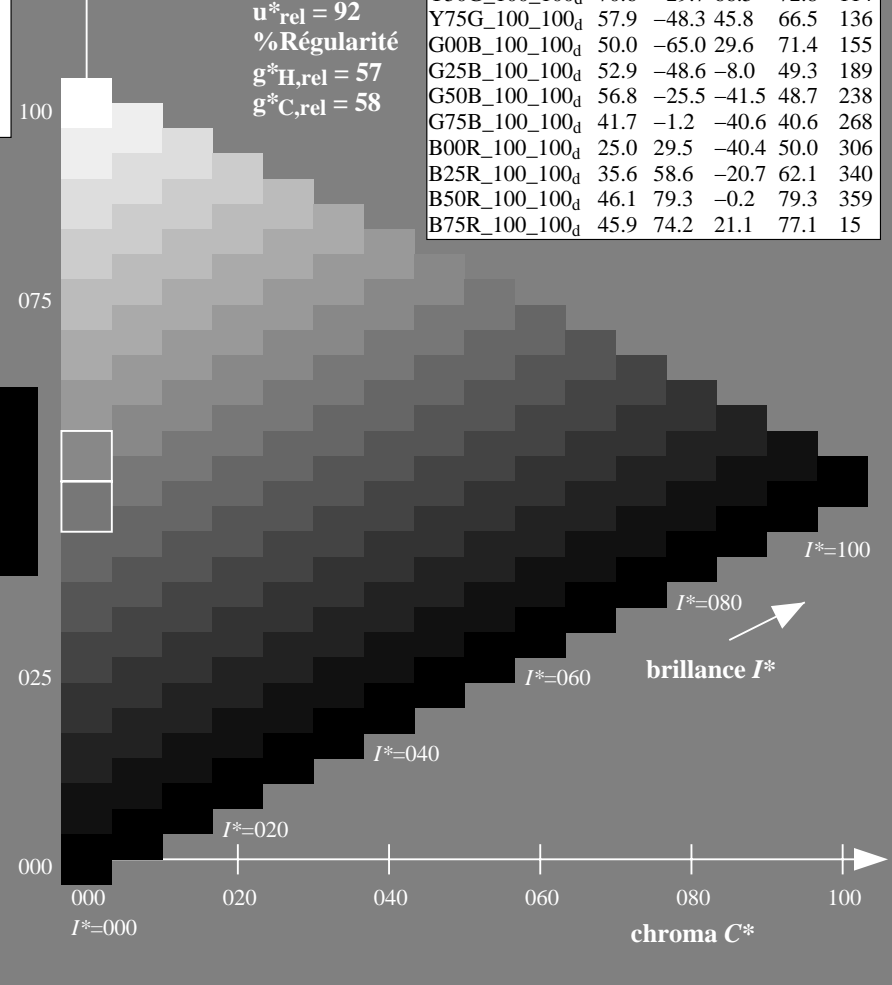
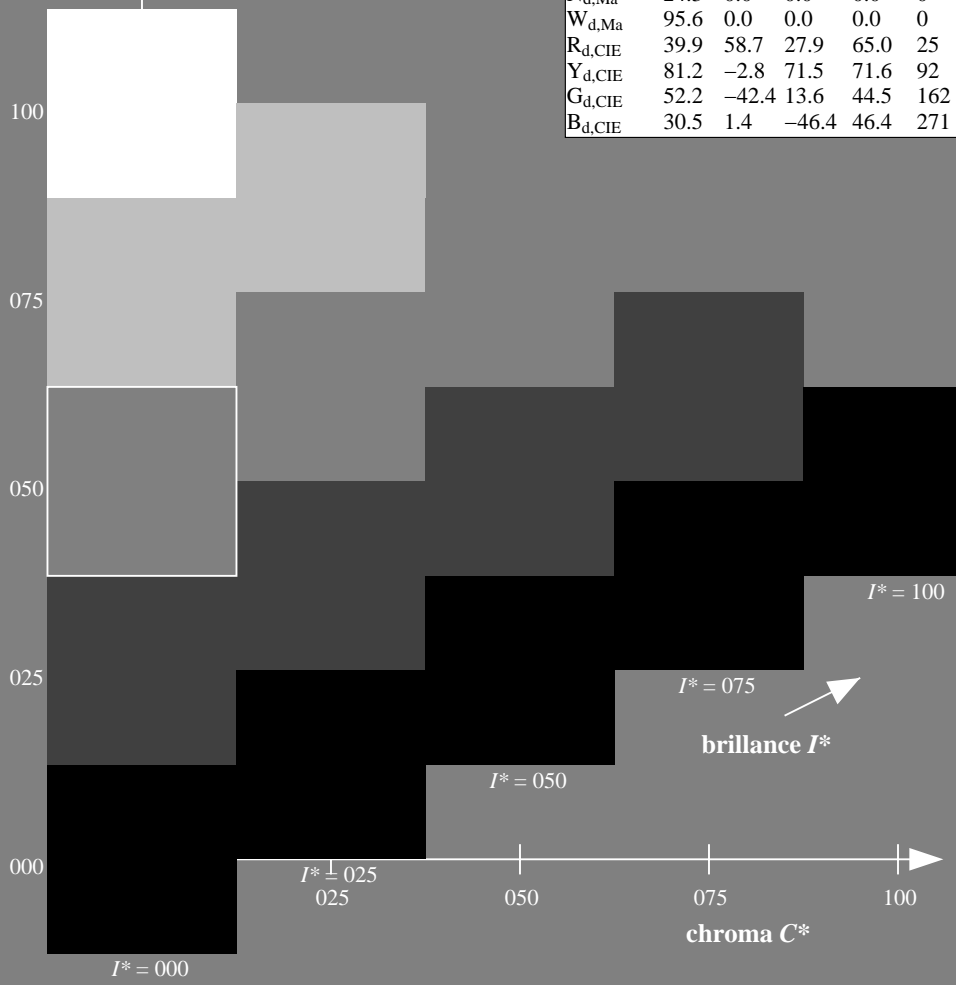
1.0 0.5 0.0 1.0 1.0

triangle de luminosité T^*

% Gamme
 $u^*_{rel} = 92$
% Régularité
 $g^*_{H,rel} = 57$
 $g^*_{C,rel} = 58$

ORS20a; données CIELAB (a) adaptées

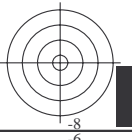
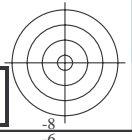
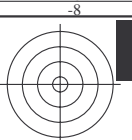
H^*_d	$L^*=L^*_a a^*_a$	b^*_a	$C^*_{ab,a}$	$h^*_{ab,a}$
R00Y_100_100d	45.4	70.9	44.8	83.9
R25Y_100_100d	53.0	53.4	54.8	76.5
R50Y_100_100d	64.9	28.9	68.6	74.5
R75Y_100_100d	78.6	4.3	84.7	84.8
Y00G_100_100d	87.8	-10.2	95.4	96.0
Y25G_100_100d	81.2	-17.0	84.3	86.0
Y50G_100_100d	70.6	-29.7	66.5	72.8
Y75G_100_100d	57.9	-48.3	45.8	66.5
G00B_100_100d	50.0	-65.0	29.6	71.4
G25B_100_100d	52.9	-48.6	-8.0	49.3
G50B_100_100d	56.8	-25.5	-41.5	48.7
G75B_100_100d	41.7	-1.2	-40.6	40.6
B00R_100_100d	25.0	29.5	-40.4	50.0
B25R_100_100d	35.6	58.6	-20.7	62.1
B50R_100_100d	46.1	79.3	-0.2	79.3
B75R_100_100d	45.9	74.2	21.1	77.1



voir fichiers similaires: <http://130.149.60.45/~farbmetrik/QF17/QF17.HTM>
informations techniques: <http://www.ps.bam.de> ou <http://130.149.60.45/~farbmetrik>

TUB enregistrement: 20130201-QF17/QF17L0NP.PDF /.PS TUB matériel: code=rh4ta
application pour la mesure des sorties sur offset, séparation cmy0 (CMY0)

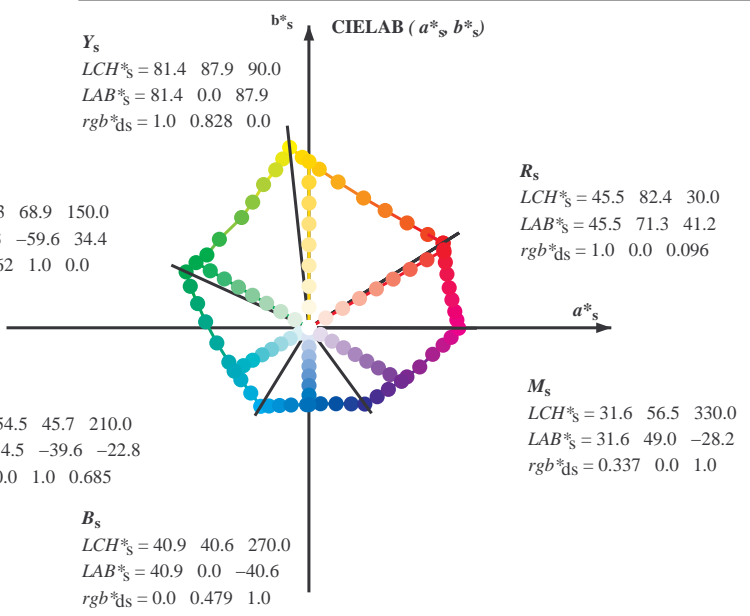
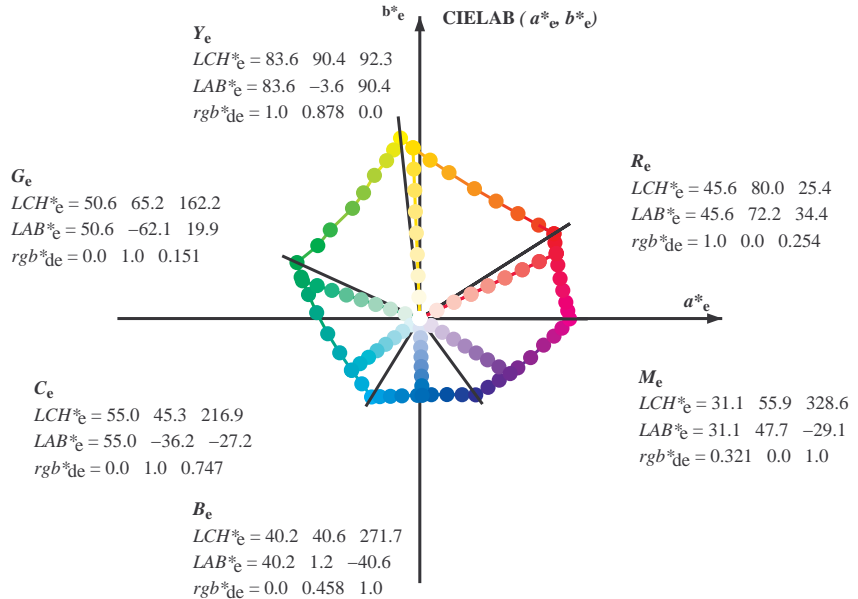
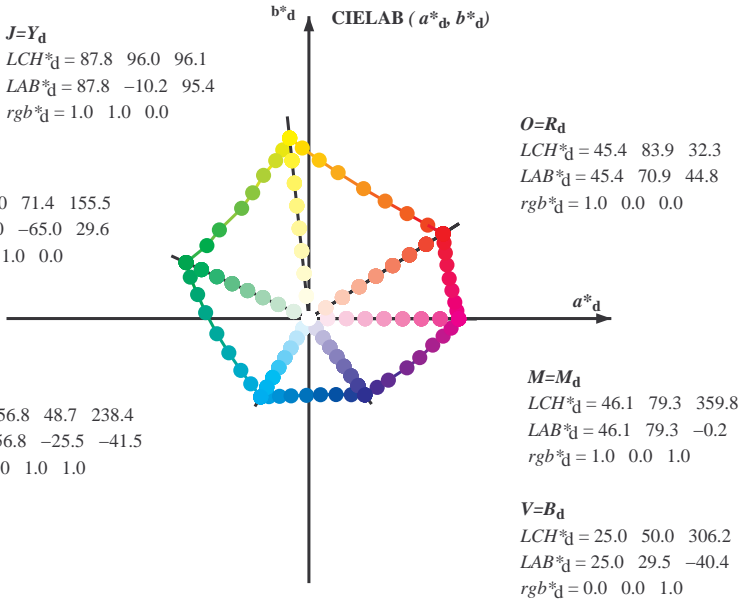




Couleur maximale dans le système colorimétrique : Offset standard print; separation cmy0*, D65 pour l'entrée et sortie; Six angles de teinte à 60 degrés couleurs standard *RYGCBM_d*; $h_{ab,ds} = 30.0, 90.0, 150.0, 210.0, 270.0, 330.0$;
Six angles de teinte des couleurs périphériques *RYGCBM_d*; $h_{ab,d} = 32.3, 96.1, 155.5, 238.4, 306.2, 359.8$; Six angles de teinte des couleurs élémentaires *RYGCBM_e*; $h_{ab,e} = 25.5, 92.3, 162.2, 217.0, 271.7, 328.6$

voir fichiers similaires: <http://130.149.60.45/~farbmetrik/QF17/QF17.HTM>
informations techniques: <http://www.ps.bam.de> ou <http://130.149.60.45/~farbmetrik>

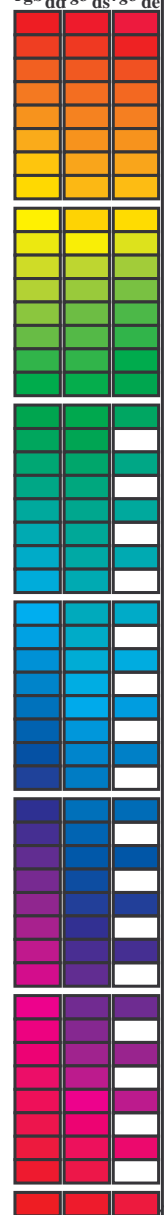
TUB enregistrement: 20130201-QF17/QF17L0NP.PDF /.PS TUB matériel: code=rh4ta
application pour la mesure des sorties sur offset, séparation cmy0 (CMY0)



$(a^*_d, b^*_d), (a^*_s, b^*_s), (a^*_e, b^*_e)$
 $rgb^*_e LCH^*_s, LAB^*_s$
 $h_{ab,s} = atan [r^*_d cos(30) + g^*_d cos(150)] / [r^*_d sin(30) + g^*_d sin(150) + b^*_d sin(270)]$ (1)
 $h_{ab,s}$
 $s: h_{ab,s} = 30.0, 90.0, 150.0, 210.0, 270.0, 330.0, 390.0 (i=0,6)$
 $h_{48ab,sij} = h_{ab,si} + j [h_{ab,si+1} - h_{ab,si}] / 8 (i = 0, 1, \dots, 5; j = 0, 1, \dots, 7)$ (2)
 $h_{360ab,sij} = h_{ab,si} + j [h_{ab,si+1} - h_{ab,si}] / 60 (i = 0, 1, \dots, 5; j = 0, 1, \dots, 59)$ (3)
 $h_{ab,e}$
 $e: h_{ab,e} = 25.5, 92.3, 162.2, 217.0, 271.7, 328.6, 385.5 (i=0,6)$
 $h_{48ab,eij} = h_{ab,ei} + j [h_{ab,ei+1} - h_{ab,ei}] / 8 (i = 0, 1, \dots, 5; j = 0, 1, \dots, 7)$ (4)
 $h_{360ab,eij} = h_{ab,ei} + j [h_{ab,ei+1} - h_{ab,ei}] / 60 (i = 0, 1, \dots, 5; j = 0, 1, \dots, 59)$ (5)
 $h_{ab}, h_{ab,d}$
 rgb^*_e

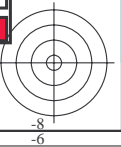
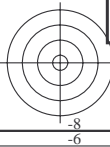
Couleur maximale dans le système colorimétrique : Offset standard print; separation cmy0*; D65 pour l'entrée et sortie; Six angles de teinte à 60 degrés couleurs standard RYGCMB_c; h_{ab,ds} = 30.0, 90.0, 150.0, 210.0, 270.0, 330.0; Six angles de teinte des couleurs périphériques RYGCMB_d; h_{ab,d} = 32.3, 96.1, 155.5, 238.4, 306.2, 359.8; Six angles de teinte des couleurs élémentaires RYGCMB_e; h_{ab,e} = 25.5, 92.3, 162.2, 217.0, 271.7, 328.6

Table with 12 columns of colorimetric data (h_{ab,d}, h_{ab,s}, h_{ab,e}, r_{gb}^{dd}, LAB*_{ddx64M}, LAB*_{ddx361M}, r_{gb}^{ds}, LAB*_{dsx361M}, LAB*_{dsx361M}, r_{gb}^{de}, LAB*_{dex361M}, LAB*_{dex361M}) and 12 rows of color patches.



voir fichiers similaires: http://130.149.60.45/~farbmetrik/QF17/QF17.HTM informations techniques: http://www.ps.bam.de ou http://130.149.60.45/~farbmetrik

TUB enregistrement: 20130201-QF17/QF17L0NP.PDF /.PS application pour la mesure des sorties sur offset, separation cmy0 (CMY0) TUB matériel: code=rh4ta



Couleur maximale dans le système colorimétrique : Offset standard print; separation cmy0*, D65 pour l'entrée et sortie; Six angles de teinte à 60 degrés couleurs standard *RYGCBM*_c; *h_{ab,ds}* = 30.0, 90.0, 150.0, 210.0, 270.0, 330.0;
 Six angles de teinte des couleurs périphériques *RYGCBM*_d; *h_{ab,d}* = 32.3, 96.1, 155.5, 238.4, 306.2, 359.8; Six angles de teinte des couleurs élémentaires *RYGCBM*_c; *h_{ab,e}* = 25.5, 92.3, 162.2, 217.0, 271.7, 328.6

<i>h_{ab,d}</i>	<i>h_{ab,s}</i>	<i>h_{ab,e}</i>	<i>rgb*</i> dd64M	<i>LAB*</i> dd64M (x=LabCh)	<i>rgb*</i> dex361M	<i>LAB*</i> dex361M
32.3	30.0	25.4	1.0 0.0 0.0	45.4 70.9 44.8 83.9 32.3	1.0 0.0 0.255	45.7 72.2 34.4 80.0 25
38.1	37.5	33.8	1.0 0.125 0.0	48.9 62.8 49.4 79.9 38.1	1.0 0.021 0.0	46.0 69.6 45.7 83.3 33
46.8	45.0	42.1	1.0 0.25 0.0	53.6 51.9 55.5 76.0 46.8	1.0 0.183 0.0	51.1 57.9 52.5 78.1 42
56.9	52.5	50.5	1.0 0.375 0.0	59.1 40.3 62.0 74.0 56.9	1.0 0.288 0.0	55.4 48.5 57.8 75.4 49
67.1	60.0	58.8	1.0 0.5 0.0	64.9 28.9 68.6 74.5 67.1	1.0 0.398 0.0	60.3 38.3 63.5 74.1 58
78.6	67.5	67.2	1.0 0.625 0.0	72.1 15.4 77.1 78.6 78.6	1.0 0.494 0.0	64.6 29.5 68.4 74.5 66
86.2	75.0	75.6	1.0 0.75 0.0	77.9 5.4 83.8 84.0 86.2	1.0 0.592 0.0	70.2 19.3 75.2 77.6 75
92.1	82.5	83.9	1.0 0.875 0.0	83.4 -3.4 90.2 90.2 92.1	1.0 0.703 0.0	75.8 9.4 81.5 82.0 83
96.1	90.0	92.3	1.0 1.0 0.0	87.8 -10.2 95.4 96.0 96.1	1.0 0.879 0.0	83.6 -3.6 90.4 90.5 92
98.8	97.5	101.0	0.875 1.0 0.0	84.3 -13.9 89.2 90.3 98.8	0.807 1.0 0.0	82.4 -15.8 86.2 87.7 100
101.8	105.0	109.7	0.75 1.0 0.0	80.7 -17.5 83.5 85.3 101.8	0.583 1.0 0.0	73.7 -26.1 72.7 77.3 109
107.6	112.5	118.5	0.625 1.0 0.0	75.3 -24.0 75.7 79.4 107.6	0.434 1.0 0.0	68.0 -32.9 62.2 70.5 117
114.0	120.0	127.2	0.5 1.0 0.0	70.6 -29.7 66.5 72.8 114.0	0.322 1.0 0.0	62.6 -40.8 53.8 67.6 127
121.4	127.5	136.0	0.375 1.0 0.0	65.7 -35.6 58.3 68.3 121.4	0.249 1.0 0.0	58.4 -47.4 46.8 66.6 135
135.3	135.0	144.7	0.25 1.0 0.0	58.4 -47.3 46.8 66.6 135.3	0.122 1.0 0.0	54.6 -54.2 38.4 66.5 144
144.4	142.5	153.4	0.125 1.0 0.0	54.7 -53.9 38.5 66.3 144.4	0.03 1.0 0.0	51.2 -62.4 32.0 70.2 152
155.5	150.0	162.2	0.0 1.0 0.0	50.0 -65.0 29.6 71.4 155.5	0.0 1.0 0.151	50.7 -62.0 19.9 65.2 162
160.7	157.5	169.0	0.0 1.0 0.125	50.5 -62.8 21.9 66.5 160.7	0.0 1.0 0.261	51.3 -58.5 11.8 59.8 168
167.7	165.0	175.9	0.0 1.0 0.25	51.2 -58.9 12.7 60.3 167.7	0.0 1.0 0.364	52.0 -55.0 3.9 55.2 175
176.7	172.5	182.7	0.0 1.0 0.375	52.0 -54.5 3.1 54.6 176.7	0.0 1.0 0.43	52.5 -52.2 -2.0 52.3 182
189.3	180.0	189.6	0.0 1.0 0.5	52.9 -48.6 -8.0 49.3 189.3	0.0 1.0 0.502	53.0 -48.5 -8.1 49.3 189
203.2	187.5	196.4	0.0 1.0 0.625	54.0 -42.3 -18.1 46.1 203.2	0.0 1.0 0.56	53.5 -45.9 -13.1 47.8 195
217.2	195.0	203.2	0.0 1.0 0.75	55.0 -36.0 -27.4 45.3 217.2	0.0 1.0 0.626	54.1 -42.3 -18.1 46.1 203
228.3	202.5	210.1	0.0 1.0 0.875	55.8 -30.7 -34.5 46.2 228.3	0.0 1.0 0.682	54.5 -39.6 -22.6 45.7 209
238.4	210.0	216.9	0.0 1.0 1.0	56.8 -25.5 -41.5 48.7 238.4	0.0 1.0 0.747	55.0 -36.1 -27.2 45.3 216
242.9	217.5	223.8	0.0 0.875 1.0	54.1 -21.1 -41.3 46.4 242.9	0.0 1.0 0.819	55.5 -33.2 -31.3 45.8 223
249.3	225.0	230.6	0.0 0.75 1.0	50.4 -15.5 -41.1 43.9 249.3	0.0 1.0 0.904	56.1 -29.6 -36.1 46.8 230
256.9	232.5	237.5	0.0 0.625 1.0	46.5 -9.4 -40.8 41.9 256.9	0.0 1.0 0.983	56.7 -26.2 -40.5 48.4 237
268.2	240.0	244.3	0.0 0.5 1.0	41.7 -1.2 -40.6 40.6 268.2	0.0 0.847 1.0	53.3 -19.8 -41.3 45.9 244
278.6	247.5	251.2	0.0 0.375 1.0	37.3 6.1 -40.2 40.7 278.6	0.0 0.726 1.0	49.7 -14.3 -41.1 43.6 250
289.6	255.0	258.0	0.0 0.25 1.0	32.8 14.3 -40.2 42.7 289.6	0.0 0.613 1.0	46.1 -8.6 -40.8 41.9 258
299.0	262.5	264.8	0.0 0.125 1.0	28.6 22.4 -40.2 46.1 299.0	0.0 0.542 1.0	43.4 -3.9 -40.8 41.1 264
306.2	270.0	271.7	0.0 0.0 1.0	25.0 29.5 -40.4 50.0 306.2	0.0 0.458 1.0	40.3 1.2 -40.6 40.7 271
314.7	277.5	278.8	0.125 0.0 1.0	27.9 36.0 -36.4 51.2 314.7	0.0 0.378 1.0	37.5 5.9 -40.2 40.7 278
322.1	285.0	285.9	0.25 0.0 1.0	28.8 41.9 -32.5 53.1 322.1	0.0 0.292 1.0	34.4 11.6 -40.3 42.0 285
333.3	292.5	293.0	0.375 0.0 1.0	32.7 51.8 -26.0 58.0 333.3	0.0 0.211 1.0	31.5 16.8 -40.3 43.8 292
340.5	300.0	300.1	0.5 0.0 1.0	35.6 58.6 -20.7 62.1 340.5	0.0 0.106 1.0	28.1 23.5 -40.3 46.7 300
347.9	307.5	307.2	0.625 0.0 1.0	38.1 65.4 -14.0 66.9 347.9	0.0 0.009 0.0	25.3 30.1 -40.1 50.2 306
352.5	315.0	314.3	0.75 0.0 1.0	41.8 71.0 -9.2 71.6 352.5	0.0 0.12 0.0	27.8 35.8 -36.5 51.2 314
356.1	322.5	321.4	0.875 0.0 1.0	44.2 75.2 -5.0 75.3 356.1	0.0 0.231 0.0	28.7 41.1 -33.2 52.9 321
359.8	330.0	328.6	1.0 0.0 1.0	46.1 79.3 -0.2 79.3 359.8	0.0 0.322 0.0	31.1 47.8 -29.1 56.0 328
363.0	337.5	335.7	1.0 0.0 0.875	45.9 78.2 4.1 78.3 363.0	0.0 0.408 0.0	33.5 53.7 -24.7 59.1 335
366.4	345.0	342.8	1.0 0.0 0.75	45.9 77.1 8.6 77.6 366.4	0.0 0.539 0.0	36.4 60.8 -18.7 63.7 342
371.1	352.5	349.9	1.0 0.0 0.625	46.0 75.6 14.8 77.0 371.1	0.0 0.667 0.0	39.3 67.4 -12.4 68.5 349
375.9	360.0	357.0	1.0 0.0 0.5	45.9 74.2 21.1 77.1 375.9	0.0 0.736 0.0	41.4 70.5 -9.7 71.1 352
381.2	367.5	364.1	1.0 0.0 0.375	45.8 72.9 28.3 78.3 381.2	0.0 0.81 0.0	46.1 79.3 -0.1 79.3 359
385.6	375.0	371.2	1.0 0.0 0.25	45.6 72.1 34.6 80.0 385.6	0.0 0.887 0.0	46.0 76.5 11.8 77.4 368
389.3	382.5	378.3	1.0 0.0 0.125	45.5 71.4 40.1 81.9 389.3	0.0 0.985 0.0	45.9 74.1 22.0 77.3 376
392.3	390.0	385.4	1.0 0.0 0.0	45.4 70.9 44.8 83.9 392.3	1.0 0.0 0.255	45.7 72.2 34.4 80.0 385

voir fichiers similaires: <http://130.149.60.45/~farbmetrik/QF17/QF17.HTM>
 informations techniques: <http://www.ps.bam.de> ou <http://130.149.60.45/~farbmetrik>

TUB enregistrement: 20130201-QF17/QF17L0NP.PDF /.PS TUB matériel: code=rh4ta
 application pour la mesure des sorties sur offset, séparation cmy0 (CMY0)

Couleur maximale dans le système colorimétrique : Offset standard print; separation cmy0*, D65 pour l'entrée et sortie; Six angles de teinte à 60 degrés couleurs standard RYGCMBc; hab,ds = 30.0, 90.0, 150.0, 210.0, 270.0, 330.0; Six angles de teinte des couleurs périphériques RYGCMBd; hab,d = 32.3, 96.1, 155.5, 238.4, 306.2, 359.8; Six angles de teinte des couleurs élémentaires RYGCMBc; hab,e = 25.5, 92.3, 162.2, 217.0, 271.7, 328.6

Table with columns for h_ab,d, h_ab,s, h_ab,e, rgbb*dd361Mi, LAB*dsx361Mi (x=LabCh), R_d, rgbb*ds361Mi, LAB*dsx361Mi (x=LabCh), R_s, rgbb*dd361Mi, LAB*de361Mi, LAB*dex361Mi (x=LabCh), R_c, rgbb*dd361Mi, and rgbb*dd361Mi. Rows 32-86 contain numerical data for each parameter.

voir fichiers similaires: http://130.149.60.45/~farbmetrik/QF17/QF17.HTM informations techniques: http://www.ps.bam.de ou http://130.149.60.45/~farbmetrik

TUB enregistrement: 20130201-QF17/QF17L0NP.PDF /.PS TUB matériel: code=rh4t4 application pour la mesure des sorties sur offset, séparation cmy0 (CMY0)



Couleur maximale dans le système colorimétrique : Offset standard print; separation cmy0*; D65 pour l'entrée et sortie; Six angles de teinte à 60 degrés couleurs standard RYGCMB_c; h_{ab,ds} = 30.0, 90.0, 150.0, 210.0, 270.0, 330.0;

Six angles de teinte des couleurs périphériques RYGCMB_d; h_{ab,d} = 32.3, 96.1, 155.5, 238.4, 306.2, 359.8; Six angles de teinte des couleurs élémentaires RYGCMB_c; h_{ab,e} = 25.5, 92.3, 162.2, 217.0, 271.7, 328.6

Table with 15 columns: h_{ab,d}, h_{ab,s}, h_{ab,e}, r_{gb}^{*}dd361M, LAB^{*}dxs361Mi (x=LabCh), r_{gb}^{*}ds361Mi, LAB^{*}dsx361Mi (x=LabCh), r_{gb}^{*}de361Mi, LAB^{*}dex361Mi (x=LabCh), r_{gb}^{*}dd361Mi, LAB^{*}ds361Mi, r_{gb}^{dd}, r_{gb}^{ds}, r_{gb}^{de}. Rows 114-167.

voir fichiers similaires: http://130.149.60.45/~farbmetrik/QF17/QF17.HTM
informations techniques: http://www.ps.bam.de ou http://130.149.60.45/~farbmetrik

TUB enregistrement: 20130201-QF17/QF17L0NP.PDF /.PS
application pour la mesure des sorties sur offset, séparation cmy0 (CMY0)
TUB matériel: code=rh4ta

Couleur maximale dans le système colorimétrique : Offset standard print; separation cmy0*, D65 pour l'entrée et sortie; Six angles de teinte à 60 degrés couleurs standard $RYGCBM_c$; $h_{ab,ds} = 30.0, 90.0, 150.0, 210.0, 270.0, 330.0$;
Six angles de teinte des couleurs périphériques $RYGCBM_d$; $h_{ab,d} = 32.3, 96.1, 155.5, 238.4, 306.2, 359.8$; Six angles de teinte des couleurs élémentaires $RYGCBM_c$; $h_{ab,e} = 25.5, 92.3, 162.2, 217.0, 271.7, 328.6$

$h_{ab,d}$	$h_{ab,s}$	$h_{ab,e}$	rgb^*_{dd361M}	$LAB^*_{dsx361Mi}$ (x=LabCh)	$rgb^*_{ds361Mi}$	$LAB^*_{dsx361Mi}$ (x=LabCh)	$rgb^*_{dd361Mi}$	$LAB^*_{de361Mi}$	$rgb^*_{dex361Mi}$ (x=LabCh)	$rgb^*_{dd361Mi}$	rgb^*_{dd}	rgb^*_{ds}	rgb^*_{de}
167	165	175	0.0	1.0	0.25	51.2	-58.9	12.7	60.3	167	0.0	1.0	0.25
168	166	176	0.0	1.0	0.266	51.3	-58.4	11.3	59.5	168	0.0	1.0	0.267
170	167	177	0.0	1.0	0.283	51.4	-57.9	10.0	58.8	170	0.0	1.0	0.283
171	168	178	0.0	1.0	0.3	51.5	-57.3	8.7	58.0	171	0.0	1.0	0.3
172	169	179	0.0	1.0	0.316	51.6	-56.8	7.4	57.3	172	0.0	1.0	0.317
173	170	180	0.0	1.0	0.333	51.7	-56.2	6.1	56.5	173	0.0	1.0	0.333
174	171	181	0.0	1.0	0.35	51.8	-55.5	4.9	55.8	174	0.0	1.0	0.35
176	172	182	0.0	1.0	0.366	51.9	-54.9	3.7	55.0	176	0.0	1.0	0.367
177	173	183	0.0	1.0	0.383	52.0	-54.2	2.3	54.3	177	0.0	1.0	0.383
179	174	184	0.0	1.0	0.4	52.2	-53.6	0.7	53.6	179	0.0	1.0	0.4
180	175	185	0.0	1.0	0.416	52.3	-52.8	-0.8	52.9	180	0.0	1.0	0.417
182	176	185	0.0	1.0	0.433	52.4	-52.1	-2.3	52.1	182	0.0	1.0	0.433
184	177	186	0.0	1.0	0.45	52.6	-51.3	-3.8	51.4	184	0.0	1.0	0.45
185	178	187	0.0	1.0	0.466	52.7	-50.4	-5.3	50.7	185	0.0	1.0	0.467
187	179	188	0.0	1.0	0.483	52.8	-49.6	-6.6	50.0	187	0.0	1.0	0.483
189	180	189	0.0	1.0	0.5	52.9	-48.8	-8.0	49.3	189	0.0	1.0	0.5
191	181	190	0.0	1.0	0.516	53.1	-47.9	-9.5	48.9	191	0.0	1.0	0.517
193	182	191	0.0	1.0	0.533	53.2	-47.2	-10.9	48.4	193	0.0	1.0	0.533
194	183	192	0.0	1.0	0.55	53.4	-46.4	-12.3	48.0	194	0.0	1.0	0.55
196	184	193	0.0	1.0	0.566	53.5	-45.6	-13.7	47.6	196	0.0	1.0	0.567
198	185	194	0.0	1.0	0.583	53.6	-44.7	-15.0	47.1	198	0.0	1.0	0.583
200	186	195	0.0	1.0	0.6	53.8	-43.8	-16.3	46.7	200	0.0	1.0	0.6
202	187	195	0.0	1.0	0.616	53.9	-42.8	-17.5	46.3	202	0.0	1.0	0.617
204	188	196	0.0	1.0	0.633	54.1	-42.0	-18.8	46.0	204	0.0	1.0	0.633
206	189	197	0.0	1.0	0.65	54.2	-41.2	-20.1	45.9	206	0.0	1.0	0.65
207	190	198	0.0	1.0	0.666	54.3	-40.5	-21.4	45.8	207	0.0	1.0	0.667
209	191	199	0.0	1.0	0.683	54.5	-39.7	-22.7	45.7	209	0.0	1.0	0.683
211	192	200	0.0	1.0	0.7	54.6	-38.8	-23.9	45.6	211	0.0	1.0	0.7
213	193	201	0.0	1.0	0.716	54.7	-37.9	-25.1	45.5	213	0.0	1.0	0.717
215	194	202	0.0	1.0	0.733	54.9	-37.0	-26.3	45.4	215	0.0	1.0	0.733
217	195	203	0.0	1.0	0.75	55.0	-36.0	-27.4	45.3	217	0.0	1.0	0.75
218	196	204	0.0	1.0	0.766	55.1	-35.4	-28.4	45.4	218	0.0	1.0	0.767
220	197	205	0.0	1.0	0.783	55.2	-34.7	-29.4	45.5	220	0.0	1.0	0.783
221	198	206	0.0	1.0	0.8	55.3	-34.0	-30.3	45.6	221	0.0	1.0	0.8
223	199	206	0.0	1.0	0.816	55.4	-33.3	-31.3	45.7	223	0.0	1.0	0.817
224	200	207	0.0	1.0	0.833	55.6	-32.6	-32.2	45.9	224	0.0	1.0	0.833
226	201	208	0.0	1.0	0.85	55.7	-31.8	-33.1	46.0	226	0.0	1.0	0.85
227	202	209	0.0	1.0	0.866	55.8	-31.1	-34.0	46.1	227	0.0	1.0	0.867
229	203	210	0.0	1.0	0.883	55.9	-30.4	-35.0	46.3	229	0.0	1.0	0.883
230	204	211	0.0	1.0	0.9	56.0	-29.7	-35.9	46.7	230	0.0	1.0	0.9
231	205	212	0.0	1.0	0.916	56.1	-29.1	-36.9	47.0	231	0.0	1.0	0.917
233	206	213	0.0	1.0	0.933	56.3	-28.4	-37.8	47.3	233	0.0	1.0	0.933
234	207	214	0.0	1.0	0.95	56.4	-27.7	-38.8	47.7	234	0.0	1.0	0.95
235	208	215	0.0	1.0	0.966	56.5	-27.0	-39.7	48.0	235	0.0	1.0	0.967
237	209	216	0.0	1.0	0.983	56.6	-26.2	-40.6	48.3	237	0.0	1.0	0.983
238	210	216	0.0	1.0	1.0	56.8	-25.5	-41.5	48.7	238	0.0	1.0	1.0

voir fichiers similaires: <http://130.149.60.45/~farbmetrik/QF17/QF17.HTM>
informations techniques: <http://www.ps.bam.de> ou <http://130.149.60.45/~farbmetrik>

TUB enregistrement: 20130201-QF17/QF17L0NP.PDF /.PS
application pour la mesure des sorties sur offset, séparation cmy0 (CMY0)
TUB matériel: code=rh4t4

Couleur maximale dans le système colorimétrique : Offset standard print; separation cmy0*, D65 pour l'entrée et sortie; Six angles de teinte à 60 degrés couleurs standard RYGCBM_c; h_{ab,ds} = 30.0, 90.0, 150.0, 210.0, 270.0, 330.0;

Six angles de teinte des couleurs périphériques RYGCBM_d; h_{ab,d} = 32.3, 96.1, 155.5, 238.4, 306.2, 359.8; Six angles de teinte des couleurs élémentaires RYGCBM_e; h_{ab,e} = 25.5, 92.3, 162.2, 217.0, 271.7, 328.6

Table with 18 columns: h_{ab,d}, h_{ab,s}, h_{ab,e}, r_{gb}^{*}, d_{361M}, LAB^{*}, d_{361Mi} (x=LabCh), r_{gb}^{*}, d_{361Mi}, LAB^{*}, d_{361Mi} (x=LabCh), r_{gb}^{*}, d_{361Mi}, r_{gb}^{*}, d_{361Mi}, LAB^{*}, d_{361Mi} (x=LabCh), r_{gb}^{*}, d_{361Mi}. Rows 289-340.

voir fichiers similaires: http://130.149.60.45/~farbmetrik/QF17/QF17L0NP.PDF /.PS application pour la mesure des sorties sur offset, séparation cmy0 (CMY0)

TUB enregistrement: 20130201-QF17/QF17L0NP.PDF /.PS TUB matériel: code=rh4ta

Couleur maximale dans le système colorimétrique : Offset standard print; separation cmy0*, D65 pour l'entrée et sortie; Six angles de teinte à 60 degrés couleurs standard RYGCMB_c; h_{ab,ds} = 30.0, 90.0, 150.0, 210.0, 270.0, 330.0; Six angles de teinte des couleurs périphériques RYGCMB_d; h_{ab,d} = 32.3, 96.1, 155.5, 238.4, 306.2, 359.8; Six angles de teinte des couleurs élémentaires RYGCMB_e; h_{ab,e} = 25.5, 92.3, 162.2, 217.0, 271.7, 328.6

voir fichiers similaires: http://130.149.60.45/~farbmetrik/QF17/QF17.HTM
informations techniques: http://www.ps.bam.de ou http://130.149.60.45/~farbmetrik

Table with 15 columns: h_{ab,d}, h_{ab,s}, h_{ab,e}, r_{gb}*_dd361M, LAB*_*_ddx361MI (x=LabCh), r_{gb}*_*_ds361Mi, LAB*_*_dsx361MI (x=LabCh), r_{gb}*_*_de361Mi, LAB*_*_dex361MI (x=LabCh), r_{gb}*_*_dd361Mi, r_{gb}*_*_ds361Mi, r_{gb}*_*_de361Mi. Rows 366-392.

TUB enregistrement: 20130201-QF17/QF17L0NP.PDF /.PS
application pour la mesure des sorties sur offset, séparation cmy0 (CMY0)
TUB matériel: code=rha4ta

http://130.149.60.45/~farbmetrik/QF17/QF17L0NP.PDF/.PS; sortie de transfert N: aucune linearisation 3D (OL) dans fichier (F) ou PS-startup (S), page 18/33

nif	HHC*Fd	rgb_Fd	icr_Fd	hsa_Fd	rgb*Fd	LabCH*Fd	LabCH*Fd	rgb*Fd	DF*Fd	HsAMd	rgb*Md	LabCH*Md
0/648	R00Y_100_100a	1.0	0.0	0.0	0.0	0.0	0.0	0.0	44.8	83.9	44.8	83.9
1/657	R13Y_100_100a	1.0	0.0	0.5	37	1.0	0.116	0.0	48.6	63.3	49.1	80.2
2/666	R25Y_100_100a	1.0	0.0	0.5	44	1.0	0.233	0.0	53.6	54.8	54.8	76.5
3/675	R38Y_100_100a	1.0	0.0	0.5	52	1.0	0.366	0.0	58.8	41.1	61.7	74.1
4/684	R50Y_100_100a	1.0	0.0	0.5	60	1.0	0.500	0.0	64.9	28.9	68.6	74.0
5/693	R63Y_100_100a	1.0	0.0	0.5	68	1.0	0.633	0.0	72.5	14.8	77.6	79.0
6/702	R75Y_100_100a	1.0	0.0	0.5	76	1.0	0.766	0.0	84.7	8.4	84.7	84.8
7/711	R88Y_100_100a	1.0	0.0	0.5	83	1.0	0.883	0.0	90.2	3.8	90.5	90.6
8/720	Y00G_100_100a	1.0	0.0	0.0	90	1.0	0.0	0.0	95.4	96.0	96.1	96.1
9/639	Y13C_100_100a	0.875	1.0	0.0	97	0.883	1.0	0.0	84.5	84.5	84.5	84.5
10/558	Y25C_100_100a	0.75	1.0	0.0	104	0.766	1.0	0.0	81.2	81.2	81.2	81.2
11/477	Y38C_100_100a	0.625	1.0	0.0	112	0.633	1.0	0.0	75.3	75.3	75.3	75.3
12/396	Y50G_100_100a	0.5	1.0	0.0	120	0.500	1.0	0.0	70.6	70.6	70.6	70.6
13/315	Y63G_100_100a	0.375	1.0	0.0	128	0.366	1.0	0.0	65.2	65.2	65.2	65.2
14/234	Y75G_100_100a	0.25	1.0	0.0	136	0.233	1.0	0.0	57.9	57.9	57.9	57.9
15/153	Y88G_100_100a	0.125	1.0	0.0	143	0.116	1.0	0.0	54.4	54.4	54.4	54.4
16/72	G00C_100_100a	0.0	1.0	0.0	150	0.0	0.0	0.0	65.0	65.0	65.0	65.0
17/73	G13C_100_100a	0.0	1.0	0.0	157	0.0	0.116	0.0	62.4	62.4	62.4	62.4
18/74	G25C_100_100a	0.0	1.0	0.0	164	0.0	0.233	0.0	59.5	59.5	59.5	59.5
19/75	G38C_100_100a	0.0	1.0	0.0	172	0.0	0.366	0.0	54.9	54.9	54.9	54.9
20/76	G50C_100_100a	0.0	1.0	0.0	180	0.0	0.500	0.0	48.6	48.6	48.6	48.6
21/77	G63C_100_100a	0.0	1.0	0.0	188	0.0	0.633	0.0	42.3	42.3	42.3	42.3
22/78	G75C_100_100a	0.0	1.0	0.0	196	0.0	0.766	0.0	35.4	35.4	35.4	35.4
23/79	G88C_100_100a	0.0	1.0	0.0	203	0.0	0.883	0.0	30.4	30.4	30.4	30.4
24/70	C00B_100_100a	0.0	1.0	0.0	210	0.0	0.0	0.0	56.8	56.8	56.8	56.8
25/71	C13B_100_100a	0.0	1.0	0.0	217	0.0	0.116	0.0	54.3	54.3	54.3	54.3
26/62	C25B_100_100a	0.0	1.0	0.0	224	0.0	0.233	0.0	51.1	51.1	51.1	51.1
27/63	C38B_100_100a	0.0	1.0	0.0	232	0.0	0.366	0.0	46.8	46.8	46.8	46.8
28/44	C50B_100_100a	0.0	1.0	0.0	240	0.0	0.500	0.0	41.7	41.7	41.7	41.7
29/35	C63B_100_100a	0.0	1.0	0.0	248	0.0	0.633	0.0	37.0	37.0	37.0	37.0
30/26	C75B_100_100a	0.0	1.0	0.0	256	0.0	0.766	0.0	32.2	32.2	32.2	32.2
31/17	C88B_100_100a	0.0	1.0	0.0	263	0.0	0.883	0.0	28.4	28.4	28.4	28.4
32/8	B00M_100_100a	0.0	1.0	0.0	270	0.0	0.0	0.0	25.0	25.0	25.0	25.0
33/89	B13M_100_100a	0.125	1.0	0.0	277	0.116	1.0	0.0	22.7	22.7	22.7	22.7
34/170	B25M_100_100a	0.25	1.0	0.0	284	0.233	1.0	0.0	20.4	20.4	20.4	20.4
35/251	B38M_100_100a	0.375	1.0	0.0	292	0.366	1.0	0.0	18.1	18.1	18.1	18.1
36/332	B50M_100_100a	0.5	1.0	0.0	300	0.500	1.0	0.0	15.8	15.8	15.8	15.8
37/413	B63M_100_100a	0.625	1.0	0.0	308	0.633	1.0	0.0	13.5	13.5	13.5	13.5
38/494	B75M_100_100a	0.75	1.0	0.0	316	0.766	1.0	0.0	11.2	11.2	11.2	11.2
39/575	B88M_100_100a	0.875	1.0	0.0	323	0.883	1.0	0.0	8.9	8.9	8.9	8.9
40/656	M00R_100_100a	1.0	0.0	1.0	330	1.0	0.0	1.0	46.1	46.1	46.1	46.1
41/655	M13R_100_100a	1.0	0.0	0.875	337	1.0	0.0	0.883	45.9	45.9	45.9	45.9
42/654	M25R_100_100a	1.0	0.0	0.75	344	1.0	0.0	0.766	45.9	45.9	45.9	45.9
43/653	M38R_100_100a	1.0	0.0	0.625	352	1.0	0.0	0.633	46.0	46.0	46.0	46.0
44/652	M50R_100_100a	1.0	0.0	0.5	360	1.0	0.0	0.500	45.9	45.9	45.9	45.9
45/651	M63R_100_100a	1.0	0.0	0.375	368	1.0	0.0	0.366	45.8	45.8	45.8	45.8
46/650	M75R_100_100a	1.0	0.0	0.25	376	1.0	0.0	0.233	45.6	45.6	45.6	45.6
47/649	M88R_100_100a	1.0	0.0	0.125	383	1.0	0.0	0.116	45.5	45.5	45.5	45.5
48/648	R00Y_100_100a	1.0	0.0	0.0	390	1.0	0.0	0.0	45.4	45.4	45.4	45.4
49/0	NV_000a	0.0	0.0	0.0	360	0.0	0.0	0.0	24.3	24.3	24.3	24.3
50/91	NV_013a	0.125	0.0	0.0	360	0.125	0.0	0.125	24.3	24.3	24.3	24.3
51/182	NV_025a	0.25	0.0	0.0	360	0.25	0.0	0.25	24.3	24.3	24.3	24.3
52/273	NV_038a	0.375	0.0	0.0	360	0.375	0.0	0.375	24.3	24.3	24.3	24.3
53/364	NV_050a	0.5	0.0	0.0	360	0.5	0.0	0.5	24.3	24.3	24.3	24.3
54/455	NV_063a	0.625	0.0	0.0	360	0.625	0.0	0.625	24.3	24.3	24.3	24.3
55/546	NV_075a	0.75	0.0	0.0	360	0.75	0.0	0.75	24.3	24.3	24.3	24.3
56/637	NV_088a	0.875	0.0	0.0	360	0.875	0.0	0.875	24.3	24.3	24.3	24.3
57/728	NV_100a	1.0	0.0	1.0	360	1.0	0.0	1.0	24.3	24.3	24.3	24.3

graphique TUB-QF17; code de teinte: H*d=R50Ya couleurs et différences, ΔE*
 entrée : rgb/cmyk -> rgba
 sortie : transférer à cmy0d



http://130.149.60.45/~farbmetrik/QF17/QF17L0NP.PDF /.PS; sortie de transfert N: aucune linearisation 3D (OL) dans fichier (F) ou PS-startup (S), page 19/33

Table with columns: nuj, HHC*Fd, rpb*Fd, icr*Fd, lns*Fd, rpb*Fd, LabCh*Fd, LabCh*Fd, rpb*Fd, rpb*Fd, rpb*Fd, DF*Fd, rpb*Fd, rpb*Fd, LabCh*Fd, LabCh*Fd, rpb*Fd, rpb*Fd, rpb*Fd, rpb*Fd, rpb*Fd, rpb*Fd, rpb*Fd, delta E* = 5.0

3-0031831-F0

QF170-TN, 19/33-F

graphique TUB-QF17; code de teinte: H*d=R50Yd couleurs et différences, ΔE*'

entrée : rgb/cmyk -> rgbd sortie : transférer à cmy0d

3-0031831-F0



Table with 80 columns (numbered 1-80) and 80 rows (numbered 1-80). Each cell contains a 4x4 grid of numerical values. The values are color-coded: red for positive, green for negative, and black for zero. The table represents a color calibration chart for the QF1700L printer.

entrée : rgb/cmyk -> rgba
sortie : transférer à cmy0d

graphique TUB-QF17; code de teinte: H*d=R50Yd
couleurs et différences, ΔE*

3-0031931-F0

QF170-TN, 2033-F

delta E* = 4,2

QF1700L

3-0032031-F0

3-0032031-F0

QF1700L

http://130.149.60.45/~farbmetrik/QF17/QF17LONP.PDF /.PS; sortie de transfert N: aucune linearisation 3D (OL) dans fichier (F) ou PS-startup (S), page 21/33

Table with 16 columns: n, HHC*Fd, rpb*Fd, icr*Fd, hsa*Fd, rpb*Fd, LabCH*Fd, rpb*Fd, LabCH*Fd, rpb*Fd, DF*Fd, hsa*Fd, rpb*Fd, LabCH*Fd, rpb*Fd, LabCH*Fd. Rows 81-161.

entrée : rgb/cmyk -> rgba sortie : transférer à cmy0d

graphique TUB-QF17; code de teinte: H*d=R50Yd couleurs et différences, ΔE*

http://130.149.60.45/~farbmetrik/QF17/QF17L0NP.PDF /PS; sortie de transfert N: aucune linearisation 3D (OL) dans fichier (F) ou PS-startup (S), page 23/33

Table with 17 columns: n, HHC*Fd, rpb*Fd, icr*Fd, hsa*Fd, rpb*Fd, LabC0*Fd, LabC1*Fd, LabC2*Fd, LabC3*Fd, rpb*Fd, LabC4*Fd, DF*Fd, rpb*Fd, rpb*Fd, LabC5*Fd, LabC6*Fd. Contains 323 rows of data.

delta F* = 7.6

voir fichiers similaires: http://130.149.60.45/~farbmetrik/QF17/QF17L0NP.PDF/.PS informations techniques: http://www.ps.bam.de ou http://130.149.60.45/~farbmetrik

entrée : rgb/cmyk -> rgba sortie : transférer à cmy0d

graphique TUB-QF17; code de teinte: H*d=R50Yd couleurs et différences, ΔE*



http://130.149.60.45/~farbmetrik/QF17/QF17LONP.PDF /.PS; sortie de transfert N: aucune linearisation 3D (OL) dans fichier (F) ou PS-startup (S), page 24/33

Table with multiple columns containing numerical data for each color channel (n, HHC*, RGB*, ICR*, HSL*, LAB*, CMY*, HSB*, etc.) across various color patches (324 to 404).

entrée : rgb/cmyk -> rgba sortie : transférer à cmy0d



http://130.149.60.45/~farbmetrik/QF17/QF17L0NP.PDF /.PS; sortie de transfert N: aucune linearisation 3D (OL) dans fichier (F) ou PS-startup (S), page 26/33

Table with columns: n, HHC*Fd, rgb*Fd, icr*Fd, hsa*Fd, rgb*Fd, LabCH*Fd, LabCH*Fd, LabCH*Fd, LabCH*Fd, DF*Fd, hsa*Fd, rgb*Fd, LabCH*Fd. The table contains 566 rows of numerical data.

3-0032531-F0



graphique TUB-QF17; code de teinte: H*d=R50Yd couleurs et différences, ΔE*

entrée : rgb/cmyk -> rgba sortie : transférer à cmy0d

delta E* = 5,0





http://130.149.60.45/~farbmetrik/QF17/QF17LONP.PDF / .PS; sortie de transfert N: aucune linearisation 3D (OL) dans fichier (F) ou PS-startup (S), page 27/33

graphique TUB-QF17; code de teinte: H*d=R50Yd couleurs et différences, ΔE*

Table with 4 columns: HVC*Fd, rgb*Fd, LabCH*Fd, LabCH*Pd. Rows 567 to 647 containing numerical data for color calibration. Includes a 'delta E*' row at the bottom of the data table.

3-0032631-F0

3-0032631-F0

voir fichiers similaires: http://130.149.60.45/~farbmetrik/QF17/QF17LONP.PDF / .PS; sortie de transfert N: aucune linearisation 3D (OL) dans fichier (F) ou PS-startup (S), page 27/33

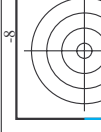
informations pour la mesure des sorties sur offset, séparation cmy0 (CMY0)

entrée : rgb/cmyk -> rgbd sortie : transférer à cmy0d



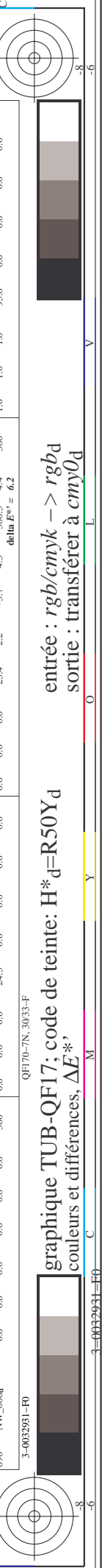
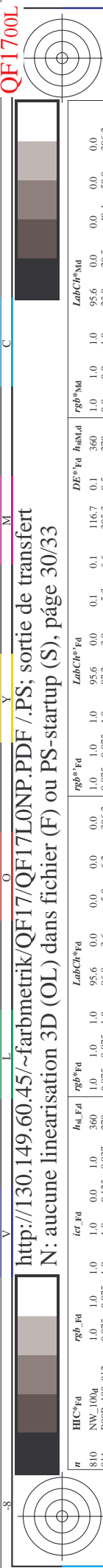
http://130.149.60.45/~farbmetrik/QF17/QF17L0NP.PDF /.PS; sortie de transfert N: aucune linearisation 3D (OL) dans fichier (F) ou PS-startup (S), page 28/33

Table with 10 columns: n, HHC*Fd, rpb*Fd, icr*Fd, hsa*Fd, rpb*Fd, LabCH*Fd, LabCH*Fd, DF*Fd, hsa*Fd, rpb*Fd, LabCH*Fd, LabCH*Fd, delta F* = 3.7. Rows list various color and grayscale patches.



entrée : rgb/cmyk -> rgba sortie : transférer à cmy0d

graphique TUB-QF17; code de teinte: H*d=R50Yd couleurs et différences, ΔE*



http://130.149.60.45/~farbmetrik/QF17/QF17L0NP.PDF/.PS; sortie de transfert N: aucune linearisation 3D (OL) dans fichier (F) ou PS-startup (S), page 30/33

Table with 10 columns: n, HHC*Fd, rpb*Fd, icr*Fd, hsa*Fd, rpb*Fd, LabC*Fd, LabCh*Fd, DF*Fd, hsa*Fd, rpb*Fd, LabCh*Fd, LabCh*Yhd, and 0.0. It contains a large grid of numerical data for various color and registration points.

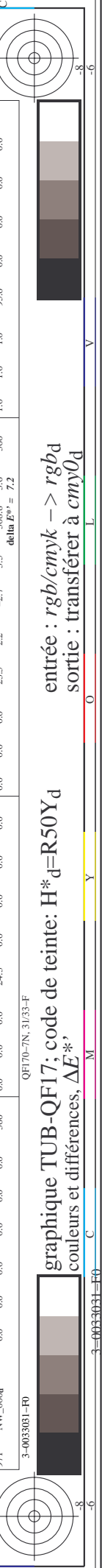
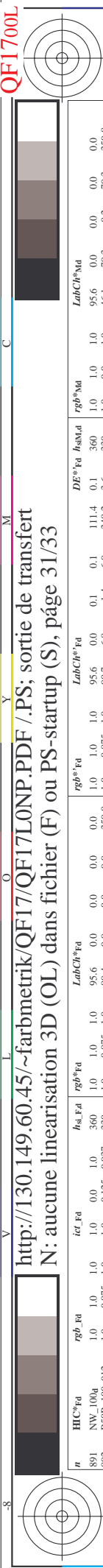
entrée : rgb/cmyk -> rgba sortie : transférer à cmy0d

graphique TUB-QF17; code de teinte: H*d=R50Yd couleurs et différences, ΔE*

3-0032931-F0

QF170-TN; 30/33-F

delta E** = 6.2



http://130.149.60.45/~farbmetrik/QF17/QF17L0NP.PDF /.PS; sortie de transfert N: aucune linearisation 3D (OL) dans fichier (F) ou PS-startup (S), page 31/33

Table with columns: n, HHC*Fd, rpb*Fd, icr*Fd, hsa*Fd, LabCH*Fd, rpb*Fd, LabCH*Fd, DF*Fd, rpb*Fd, hsa*Fd, LabCH*Fd, rpb*Fd, LabCH*Fd. Rows list various color and grayscale calibration patches.

delta E* = 7.2

entrée : rgb/cmyk -> rgba sortie : transférer à cmy0d

graphique TUB-QF17; code de teinte: H*d=R50Yd couleurs et différences, ΔE*



QF1700L

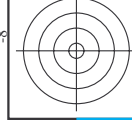


TUB enregistrement: 20130201-QF17/QF17L0NP.PDF /.PS TUB matériel: code=rha4ta
application pour la mesure des sorties sur offset, séparation cmy0 (CMY0)

<http://130.149.60.45/~farbmetrik/QF17/QF17L0NP.PDF> /PS; sortie de transfert
N: aucune linearisation 3D (OL) dans fichier (F) ou PS-startup (S), page 33/33

n	HCC*Fd	rgb*Fd	icr*Fd	hsa*Fd	rgb*Fd	LabCH*Fd	hsa*Fd	LabCH*Fd	rgb*Fd	DF*Fd	hsa*Fd	LabCH*Fd	rgb*Fd	LabCH*Fd	hsa*Fd	DF*Fd	LabCH*Fd	rgb*Fd	
1053	NW_086a	0.866	0.866	0.866	0.866	0.866	0.866	0.866	0.866	0.866	0.866	0.866	0.866	0.866	0.866	0.866	0.866	0.866	0.866
1054	NW_093a	0.933	0.933	0.933	0.933	0.933	0.933	0.933	0.933	0.933	0.933	0.933	0.933	0.933	0.933	0.933	0.933	0.933	0.933
1055	NW_100a	1.0	1.0	1.0	1.0	1.0	1.0	1.0	1.0	1.0	1.0	1.0	1.0	1.0	1.0	1.0	1.0	1.0	1.0
1056	NW_006a	0.066	0.066	0.066	0.066	0.066	0.066	0.066	0.066	0.066	0.066	0.066	0.066	0.066	0.066	0.066	0.066	0.066	0.066
1057	NW_013a	0.133	0.133	0.133	0.133	0.133	0.133	0.133	0.133	0.133	0.133	0.133	0.133	0.133	0.133	0.133	0.133	0.133	0.133
1058	NW_020a	0.2	0.2	0.2	0.2	0.2	0.2	0.2	0.2	0.2	0.2	0.2	0.2	0.2	0.2	0.2	0.2	0.2	0.2
1059	NW_026a	0.266	0.266	0.266	0.266	0.266	0.266	0.266	0.266	0.266	0.266	0.266	0.266	0.266	0.266	0.266	0.266	0.266	0.266
1060	NW_033a	0.333	0.333	0.333	0.333	0.333	0.333	0.333	0.333	0.333	0.333	0.333	0.333	0.333	0.333	0.333	0.333	0.333	0.333
1061	NW_040a	0.4	0.4	0.4	0.4	0.4	0.4	0.4	0.4	0.4	0.4	0.4	0.4	0.4	0.4	0.4	0.4	0.4	0.4
1062	NW_046a	0.466	0.466	0.466	0.466	0.466	0.466	0.466	0.466	0.466	0.466	0.466	0.466	0.466	0.466	0.466	0.466	0.466	0.466
1063	NW_053a	0.533	0.533	0.533	0.533	0.533	0.533	0.533	0.533	0.533	0.533	0.533	0.533	0.533	0.533	0.533	0.533	0.533	0.533
1064	NW_060a	0.6	0.6	0.6	0.6	0.6	0.6	0.6	0.6	0.6	0.6	0.6	0.6	0.6	0.6	0.6	0.6	0.6	0.6
1065	NW_066a	0.666	0.666	0.666	0.666	0.666	0.666	0.666	0.666	0.666	0.666	0.666	0.666	0.666	0.666	0.666	0.666	0.666	0.666
1066	NW_073a	0.734	0.734	0.734	0.734	0.734	0.734	0.734	0.734	0.734	0.734	0.734	0.734	0.734	0.734	0.734	0.734	0.734	0.734
1067	NW_080a	0.8	0.8	0.8	0.8	0.8	0.8	0.8	0.8	0.8	0.8	0.8	0.8	0.8	0.8	0.8	0.8	0.8	0.8
1068	NW_086a	0.866	0.866	0.866	0.866	0.866	0.866	0.866	0.866	0.866	0.866	0.866	0.866	0.866	0.866	0.866	0.866	0.866	0.866
1069	NW_093a	0.933	0.933	0.933	0.933	0.933	0.933	0.933	0.933	0.933	0.933	0.933	0.933	0.933	0.933	0.933	0.933	0.933	0.933
1070	NW_100a	1.0	1.0	1.0	1.0	1.0	1.0	1.0	1.0	1.0	1.0	1.0	1.0	1.0	1.0	1.0	1.0	1.0	1.0
1071	NW_006a	0.066	0.066	0.066	0.066	0.066	0.066	0.066	0.066	0.066	0.066	0.066	0.066	0.066	0.066	0.066	0.066	0.066	0.066
1072	NW_013a	0.133	0.133	0.133	0.133	0.133	0.133	0.133	0.133	0.133	0.133	0.133	0.133	0.133	0.133	0.133	0.133	0.133	0.133
1073	NW_020a	0.2	0.2	0.2	0.2	0.2	0.2	0.2	0.2	0.2	0.2	0.2	0.2	0.2	0.2	0.2	0.2	0.2	0.2
1074	ROXY_100_100a	1.0	0.0	0.0	1.0	0.0	0.0	0.0	1.0	0.0	0.0	0.0	0.0	0.0	1.0	0.0	0.0	0.0	0.0
1075	GS0B_100_100a	0.0	1.0	0.0	0.0	1.0	0.0	0.0	0.0	1.0	0.0	0.0	0.0	0.0	0.0	1.0	0.0	0.0	0.0
1076	YG0B_100_100a	0.0	0.0	1.0	0.0	0.0	0.0	1.0	0.0	0.0	0.0	0.0	0.0	1.0	0.0	0.0	0.0	0.0	0.0
1077	BY0B_100_100a	0.0	0.0	0.0	1.0	0.0	0.0	0.0	0.0	1.0	0.0	0.0	0.0	0.0	0.0	1.0	0.0	0.0	0.0
1078	BS0B_100_100a	0.0	0.0	0.0	0.0	1.0	0.0	0.0	0.0	0.0	1.0	0.0	0.0	0.0	0.0	0.0	1.0	0.0	0.0
1079	BS0B_100_100a	1.0	0.0	0.0	0.0	0.0	0.0	0.0	0.0	0.0	0.0	0.0	0.0	0.0	0.0	0.0	0.0	0.0	0.0

delta E** = 5.8



voir fichiers similaires: <http://130.149.60.45/~farbmetrik/QF17/QF17.HTM>
informations techniques: <http://www.ps.bam.de> ou <http://130.149.60.45/~farbmetrik>

entrée : rgb/cmyk -> rgba
sortie : transférer à cmy0d

graphique TUB-QF17; code de teinte: H*d=R50Yd
couleurs et différences, ΔE^*

3-003321-1-F0

QF170-TN_3333-F

